

# High technology of night vision system with image intensifiers manufacture. State and summary of 2003 year

V. I. Loktionov

Katod Joint-Stock Company, Novosibirsk, Russia

*State and summary of night vision system with image intensifiers (hereinafter I<sup>2</sup>) technology developed by JSC "Katod" are reviewed. Improvements in I<sup>2</sup> technology, achieved by JSC "Katod" may be divided into three full based directions: unfilmed I<sup>2</sup>, I<sup>2</sup> with 25 mm photocathode diameter and halo-free I<sup>2</sup> with automatic gate. Advantages of night vision system (hereinafter NVS) achieved with use of the new technologies presented.*

УДК 621.383

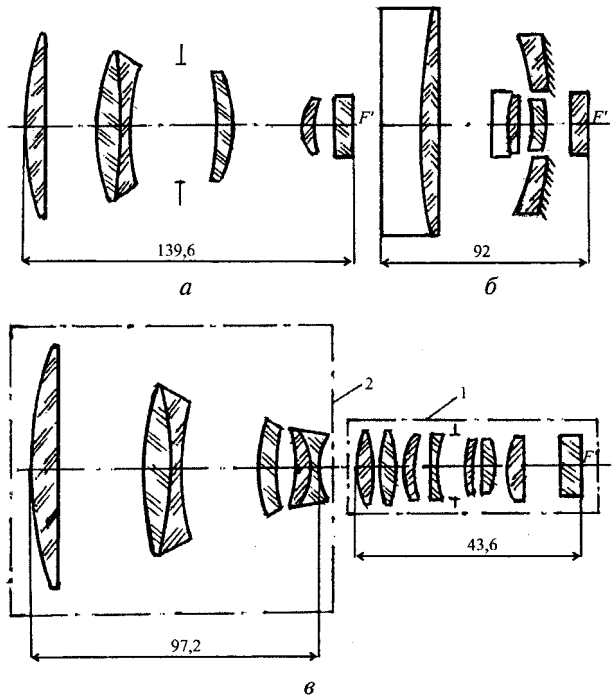
## Оптические системы для приборов ночного видения

В. Г. Волков, Г. А. Леонова, В. Л. Саликов, С. А. Украинский  
ФГУП "Альфа", Москва, Россия

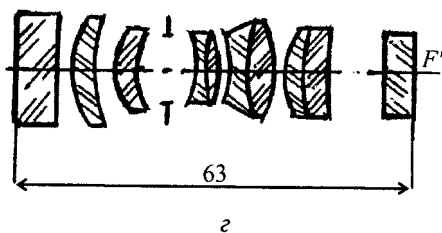
*Описаны новые схемы оптических систем для приборов ночного видения: объективы, телескопическая насадка, окулярные системы, оптика целеуказателей. Рассмотрены их возможности и основные характеристики.*

В настоящее время интенсивно развиваются приборы ночного видения (ПНВ). Они находят широкое применение везде, где требуется наблюдение при низких уровнях освещенности, а в ряде случаев — и при пониженной прозрачности атмосферы. Для таких ПНВ необходима разработка эффективных оптических систем. К ним относятся объективы, окулярные системы и объективы для лазерных целеуказателей и осветителей. В настоящей статье рассмотрены новые оптические системы такого рода. Они рассчитаны для приборов, в которых используются электронно-оптические преобразователи (ЭОП) поколений 2<sup>+</sup>, 2<sup>++</sup>, 3 и 4.

Линзовый объектив (рис. 1, а) для ночного бинокля имеет: фокусное расстояние 100 мм; относительное отверстие 1:1,5; угол поля зрения 10° (линейное поле зрения 17,5 мм); расчетную длину волны 0,8 мкм; диапазон ахроматизации 0,65—0,9 мкм; коэффициент передачи контраста для точки на оси на пространственной частоте 15 штр/мм — 0,9, на частоте 30 штр/мм — 0,75, для края поля зрения — 0,6 и 0,3, соответственно, для данных частот; массу в стекле 202 г.



*Рис. 1. Оптические схемы объективов:  
а — оптическая схема линзового объектива с фокусным расстоянием 100 мм; б — оптическая схема зеркально-линзового объектива с фокусным расстоянием 100 мм; в — оптическая схема линзового объектива с фокусным расстоянием 26 мм (1) в сочетании с телескопической насадкой (2) с увеличением 4<sup>х</sup>*



**Рис. 1. Окончание.** *г* — оптическая схема линзового гидрообъектива с фокусным расстоянием 26 мм

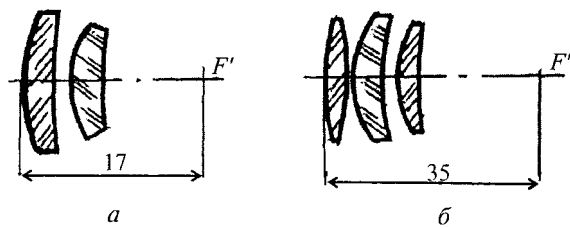
Зеркально-линзовый объектив (см. рис. 1, б) для ночного бинокля имеет: фокусное расстояние 100 мм; эффективное относительное отверстие 1:1,5; угол поля зрения  $10^\circ$  (линейное поле зрения 17,5 мм); расчетную длину волны 0,8 мкм; диапазон ахроматизации 0,4—0,9 мкм; коэффициент передачи контраста для точки на оси на пространственной частоте 15 штр/мм — 0,95, на частоте 30 штр/мм — 0,85, для края поля зрения — 0,8 и 0,5, соответственно, для данных частот; массу в стекле 120 г. Была рассчитана модификация этого объектива с расчетной длиной волны 1,06 мкм при диапазоне ахроматизации 0,8—1,7 мкм для ЭОП 4-го поколения. Преимущества зеркально-линзового объектива связаны с более высоким качеством изображения, меньшей массой и продольным габаритом. Однако такой объектив более сложен в сборке и юстировке, имеет более высокую стоимость. В связи с этим выбор того или иного объектива диктуется экономическими соображениями в каждом конкретном случае.

Есть еще один вариант, связанный с применением телескопической линзовой насадки на объектив псевдобинокулярных очков ночного видения. Это дает возможность не только приблизить дальность действия очков к дальности действия ночного бинокля, но и легко производить монтаж или демонтаж насадки в полевых условиях, не нарушая герметичности прибора. Схема такой насадки в сочетании с объективом очков ночного видения дана на рис. 1, в. Насадка имеет увеличение 4<sup>х</sup>. В сочетании с объективом очков она обеспечивает: фокусное расстояние 104 мм; относительное отверстие 1:1,55; угол поля зрения  $5^\circ$  (линейное поле зрения 9,08 мм); расчетную длину волны 0,656 мкм; диапазон ахроматизации 0,5—0,9 мкм; коэффициент передачи контраста для точки на оси на пространственной частоте 15 штр/мм — 0,593, на частоте 30 штр/мм — 0,393, для края поля зрения — 0,5 и 0,271, соответственно, для данных частот; массу в стекле 211 г.

Представленный на рис. 1, в линзовый объектив имеет: фокусное расстояние 26 мм, относительное отверстие 1:1,2, угол поля зрения  $40^\circ$  (линейное поле зрения 17,5 мм); расчетную длину волны 0,8 мкм; диапазон ахроматизации 0,65—0,9 мкм; коэффициент передачи контраста для точки на оси на пространственной частоте

15 штр/мм — 0,9, на частоте 30 штр/мм — 0,75, для края поля зрения — 0,6 и 0,3, соответственно, для данных частот; массу в стекле 20 г. Однако этот объектив не подходит для работы очков под водой. В связи с этим был рассчитан гидрообъектив (см. рис. 1, г), который имеет фокусное расстояние 26 мм; относительное отверстие 1:1,3; угол поля зрения  $30^\circ$  (линейное поле зрения 17,5 мм); расчетную длину волны 0,546 мкм; диапазон ахроматизации 0,48—0,6 мкм; коэффициент передачи контраста для точки на оси на пространственной частоте 15 штр/мм — 0,98, на частоте 30 штр/мм — 0,75, для края поля зрения — 0,7 и 0,5, соответственно, для данных частот; массу в стекле 30 г (с иллюминатором) и 20 г (без иллюминатора).

Очки ночного видения используются совместно с лазерным целеуказателем, монтируемым на оружии, образуя ночной прицельный комплекс для обеспечения стрельбы вочных условиях с ходу из любого положения оружия. Для такого целеуказателя был рассчитан объектив для коллимации его излучения. Схема объектива дана на рис. 2, а. Объектив имеет фокусное расстояние 13 мм; относительное отверстие 1:1,2; угол поля зрения 1 мрад; расчетную длину волны 0,85 мкм, диапазон ахроматизации 0,8—0,9 мкм; диаметр максимального кружка рассеяния 3 мкм; массу в стекле 2,5 г. Но для стрельбы под водой такой объектив непригоден. В связи с этим рассчитана его модификация (см. рис. 2, б), которая имеет: фокусное расстояние 26 мм, относительное отверстие 1:1,2; угол поля зрения 0,5 мрад; расчетную длину волны 0,546 мкм; диапазон ахроматизации 0,5—0,6 мкм; диаметр максимального кружка рассеяния 4 мкм; массу в стекле 10 г.

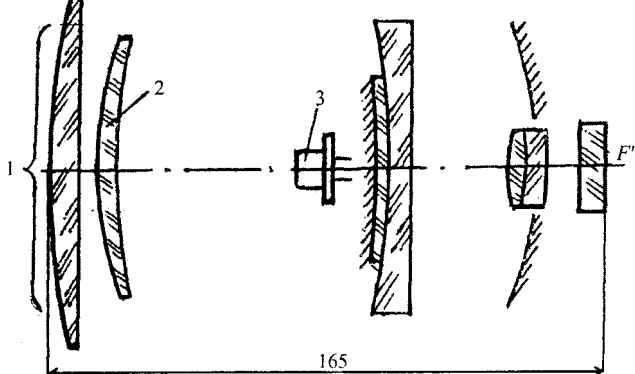


**Рис. 2. Оптическая схема линзового объектива (а) для лазерного целеуказателя и его модификация (б) для системы подводного видения**

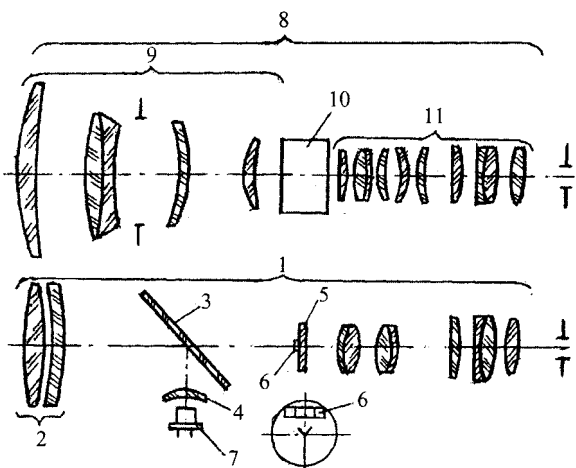
Для активно-импульсного ПНВ предложена схема комбинированного объектива. Ее зеркально-линзовый канал (рис. 3) с фокусным расстоянием 150 мм, эффективным относительным отверстием 1:1,5 и углом поля зрения  $7^\circ$  сфокусирован на фотокатод ЭОП. Расчетная длина волны 0,8 мкм; диапазон ахроматизации 0,404—0,9 мкм; коэффициент передачи контраста для точки на оси на пространственной частоте 15 штр/мм — 0,95, на частоте 30 штр/мм — 0,9, для края поля зрения — 0,7 и 0,4, соответственно.

но, для данных частот; масса в стекле 450 г. Центральная часть первого линзового компонента объектива и вторая линза образуют линзовый объектив с фокусным расстоянием 115 мм и относительным отверстием 1:1,4 (см. рис. 3, а). Объектив рассчитан для длины волны 0,863 мкм и сфокусирован на импульсный лазерный полупроводниковый излучатель ИЛПИ-110, формируя его излучение в угле подсвета  $1 \times 0,5^\circ$ . Диаметр наибольшего кружка рассеяния этого объектива составляет 0,1 мм. Другой вариант комбинированного объектива (см. рис. 3, б) предусматривает наличие в АИ ПНВ дневного канала с увеличением  $8^x$  и с углом поля зрения  $8^\circ$ . Первый двухлинзовый компонент этого канала в сочетании с дихроичным зеркалом, пропускающим свет в области спектра 0,4–0,75 мкм, отражающим излучение на длине волны  $0,85 \pm 0,03$  мкм, и линзой образует объектив формирования излучения импульсного лазерного осветителя. Такой объектив имеет те же параметры, что и линзовый объектив по рис. 3, а. С визирной маркой дневного канала сопряжен четырехразрядный девятисегментный индикатор дальности ночных активно-импульсного канала.

Объективы для ПНВ традиционно ахроматизированы в области спектра 0,4–0,9 мкм. Это связано с рабочей областью спектра наиболее употребительных фотокатодов многощелочных или арсенид-галлиевых фотокатодов ЭОП. Однако за последние годы наметилась тенденция развития ЭОП 4-го поколения и, соответственно, ПНВ, работающих в области спектра 1–2,3 мкм [2]. В связи с этим появились объективы для этой области спектра. На рис. 4, а дана схема такого объектива. Он имеет фокусное расстояние 200 мм; эффективное относительное отверстие 1:1,32; угол поля зрения  $6^\circ$  (линейное поле зрения 17,5 мм); расчетную длину волны 1,7 мкм; диапазон ахроматизации 1,3–2,3 мкм; коэффициент передачи контраста для точки на оси на пространственной частоте 15 штр/мм — 0,85, на частоте 30 штр/мм — 0,75, для края поля зрения — 0,6 и 0,3, соответственно, для данных частот; массу в стекле 3,444 кг. В центральной нерабочей части первого линзового компонента объектива установлен двухлинзовый объектив формирования излучения светодиодного излучателя. Объектив имеет фокусное расстояние 100 мм, относительное отверстие 1:1,2; расчетную длину



а



б

*Рис. 3. Оптическая схема комбинированного объектива для активно-импульсного ПНВ:*

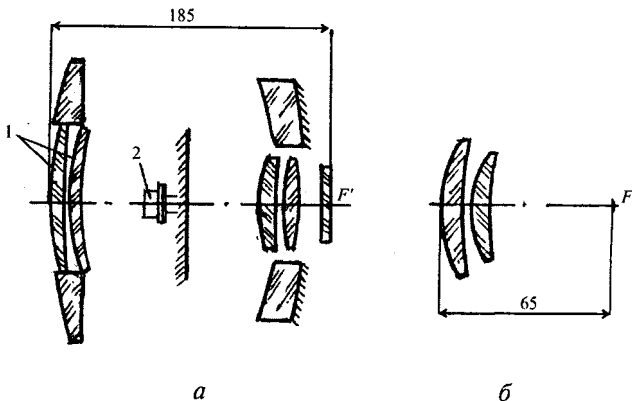
- а — зеркально-линзовый объектив с коаксиальным линзовым объективом формирования излучения лазерного осветителя:  
1 — центральная часть первой линзы, используемая одновременно в качестве первой линзы объектива формирования излучения; 2 — вторая его линза; 3 — импульсный лазерный полупроводниковый излучатель (ИЛПИ);
- б — другой вариант комбинированного объектива: 1 — дневной канал наблюдения; 2 — двухлинзовый компонент; 3 — дихроичное зеркало; 4 — линза; 5 — визирная марка; 6 — светодиодный индикатор дальности; 7 — ИЛПИ;
- 8 — активно-импульсный приемный ночной канал наблюдения; 9 — линзовый объектив; 10 — ЭОП ЭПМ-44Г (бипланарный поколения 2<sup>+</sup> без оборачивания изображения); 11 — микроскоп

Для светодиодных и лазерных осветителей может быть использована линза Френеля [1]. Она имеет фокусное расстояние от 10 до 300 мм, относительное отверстие до 1:1, работает в видимой и ближней инфракрасной области спектра, формирует угол подсвета (в зависимости от типа излучателя) от 1 до  $10^\circ$ , имеет диаметр кружка рассеяния 0,1 мм, массу менее 10 г.

волны 1,7 мкм; угол подсвета  $1^\circ$ ; максимальный кружок рассеяния 0,12 мм. Он сфокусирован на лазерный полупроводниковый излучатель LD-17 [4], генерирующий на этой длине волны.

Для обеспечения обнаружения теплопроницаемых объектов прибор ночного видения целесообразно укомплектовать теплообнаружителем, выполненным на базе тепловизионного ЭОП [3].

Для такого ЭОП был рассчитан двухлинзовый германиевый объектив (рис. 4, б) с фокусным расстоянием 50 мм, относительным отверстием 1:1,5, углом поля зрения 20°. Он работает в области спектра 8–12 мкм. Диаметр кружка рассеяния для точки на оси составляет 0,05 мм, для края поля зрения — 0,15 мм. Это вполне приемлемо для решения задач теплообнаружения.

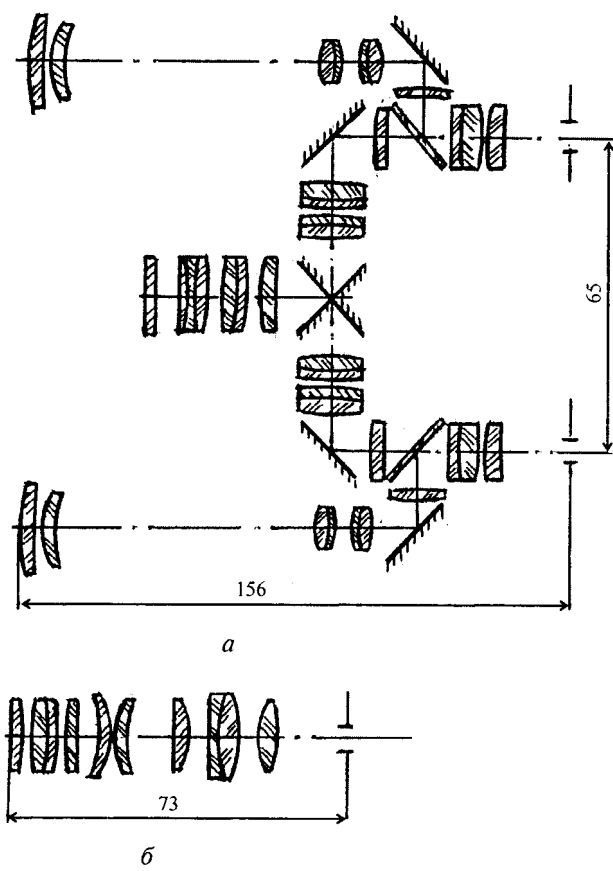


**Рис. 4. Оптические схемы инфракрасных объективов:**  
а — оптическая схема линзового объектива для области спектра 1,3—2,3 мкм: 1 — объектив формирования излучения; 2 — лазерный полупроводниковый излучатель;  
б — оптическая схема двухлинзового объектива для области спектра 8—14 мкм

Рассмотрим окулярные системы. Для псевдобинокулярных очков ночного видения и ночных биноклей используется псевдобинокулярный микроскоп (рис. 5, а). Для создания дневно-ночного прибора наблюдения такой микроскоп был рассчитан с дополнительными дневными каналами, имеющими увеличение 6 $\times$  и угол поля зрения 8° при сохранении прежних величин удаления выходного зрачка (20 мм) и его диаметра (10 мм). При этом масса микроскопа возросла всего лишь на 20 г и составила 85 г.

Для ночного монокуляра с использованием бипланарного ЭОП без оборачивания изображения необходим монокулярный микроскоп. Его схема дана на рис. 5, б. Микроскоп имеет увеличение 12,5 $\times$ ; линейное поле зрения 17,5 мм; расчетную длину волны 0,545 мкм; диапазон ахроматизации 0,53–0,56 мкм; удаление выходного зрачка 20 мм при его диаметре 10 мм. Микроскоп пригоден как для обычного, так и подводного применения монокуляра. Последний может быть использован в составе ночного прицельного комплекса, о котором говорилось выше.

Таким образом, существует достаточно широкая номенклатура оптических систем для ПНВ разнообразного типа.



**Рис. 5. Оптические схемы окулярных систем:**  
а — оптическая схема псевдобинокулярного микроскопа с дневными каналами; б — оптическая схема монокулярного микроскопа

**Л и т е р а т у р а**

1. Волков В. Г. Применение линз Френеля в качестве объективов формирования излучения лазерных осветителей, используемых в технике ночного видения// Вопросы оборонной техники. Сер. 11. 1996. Вып. 1(148)–2(149). С. 33–36.

2. Волков В. Г. Приборы ночного видения новых поколений// Специальная техника, 2001. № 5. С. 2–8.

3. Волков В. Г. Электронно-оптические преобразователи// Обзор № 5592. НТЦ "Информтехника". — М., 2002. — 143 с.

4. Laser diodes and light emitting diodes 1.6–4.6  $\mu\text{m}$ / Проспект АО ТЕХНОЭКСАН при Физико-техническом институте им. А. Ф. Иоффе РАН. — СПб, 2004.

Статья поступила в редакцию 10 октября 2004 г.

## Optical systems for night vision devices

V. G. Volkov, G.A. Leonova, V. L. Salicov, S. A. Ukrainsky  
“ALPHA” Federal State Unitary Enterprise, Moscow, Russia

*It is described new schemes of optical systems for night vision devices: objectives, afocal magnificator, ocular systems, objectives for laser aiming systems. It is examined its possibilities and the principal technical dates.*

\* \* \*